



# Динамика локализованного импульса в пузырьковой жидкости<sup>1</sup>

Гималтдинов И.К. \*\*, \*\*, Галимзянов М.Н. \*\*, \*\*\*, \*\*

\*Стерлитамакский филиал Уфимского государственного авиационного технического университета, Стерлитамак

\*\*Башкирский государственный университет, Уфа

\*\*\*Институт механики им.Р.Р. Мавлютова УНЦ РАН, Уфа

Представлены результаты исследований по динамике двумерных волн в пузырьковой жидкости, реализующихся из-за локализованного удара по границе пузырьковой жидкости.

## 1. Введение

К настоящему времени одномерные волны в пузырьковой жидкости достаточно подробно изучены [1–3]. На данный момент активно исследуются двумерные волны в пузырьковых жидкостях [4–7]. В данной работе исследуется динамика локализованного импульса в пузырьковой жидкости.

## 2. Основные уравнения

Рассмотрим двумерное движение пузырьковой среды при следующих допущениях. Смесь является монодисперсной, т.е. в каждом элементарном объеме все пузырьки сферические и одинакового радиуса. Жидкость акустически сжимаема, вязкость и теплопроводность существенны лишь в процессе межфазного взаимодействия и, в частности, при пульсации пузырьков. Отсутствует массообмен между пузырьками и жидкостью. На основе этих допущений запишем закон сохранения массы для каждой фазы, числа пузырьков и импульсов в одностороннем приближении, и кинематические зависимости [1]:

$$\frac{d\rho_i}{dt} + \rho_i \left( \frac{\partial u}{\partial x} + \frac{\partial v}{\partial y} \right) = 0 \quad (i = l, g),$$

$$\begin{aligned} \frac{dn}{dt} + n \left( \frac{\partial u}{\partial x} + \frac{\partial v}{\partial y} \right) &= 0, \\ \rho \frac{du}{dt} + \frac{\partial p_l}{\partial x} = 0, \quad \rho \frac{dv}{dt} + \frac{\partial p_l}{\partial y} = 0, \quad \rho &= \rho_g + \rho_l, \\ \left( \frac{d}{dt} = \frac{\partial}{\partial t} + u \frac{\partial}{\partial x} + v \frac{\partial}{\partial y} \right), \\ \alpha_l + \alpha_g = 1, \quad \rho_i &= \rho_i^0 \alpha_i, \quad \alpha_g = \frac{4}{3} \pi n a^3, \end{aligned}$$

где  $\rho_i^0$ ,  $\alpha_i$ ,  $p_l$ ,  $n$ ,  $a$  — соответственно плотность, объемное содержание  $i$ -й фазы, давление несущей жидкости, число и радиус пузырьков;  $u$  и  $v$  — проекции скорости на оси координат  $x$  и  $y$  соответственно.

При описании радиального движения в соответствии с уточнением, предложенным в [8], будем полагать, что скорость радиального движения  $w$  состоит из двух слагаемых

$$w = w_R + w_A,$$

где  $w_R$ , описывается уравнением Релея–Ламба

$$a \frac{dw_R}{dt} + \frac{3}{2} w_R^2 + 4\nu_l \frac{w_R}{a} = \frac{p_g - p_l}{\rho_l^0}.$$

Добавка  $w_A$  определяется из решения задачи о сферической разгрузке на сфере радиуса  $a$  в несущей жидкости в акустическом приближении:

$$w_A = \frac{p_g - p_l}{\rho_l^0 C_l \alpha_l^{1/3}}.$$

Уравнение для давления внутри пузырьков с учетом однородности давления записывается в виде [1]:

$$\frac{dp_g}{dt} = -\frac{3\gamma p_g}{a} w - \frac{3(\gamma - 1)}{a} q,$$

<sup>1</sup>Работа выполнена при финансовой поддержке РФФИ (грант № 14-01-97004-р\_поволжье\_a), Программы Фонда фундаментальных исследования ОЭМПУ РАН (проект ОЭ-13) и Программы Фонда фундаментальных исследований Президиума РАН (проект П-21).

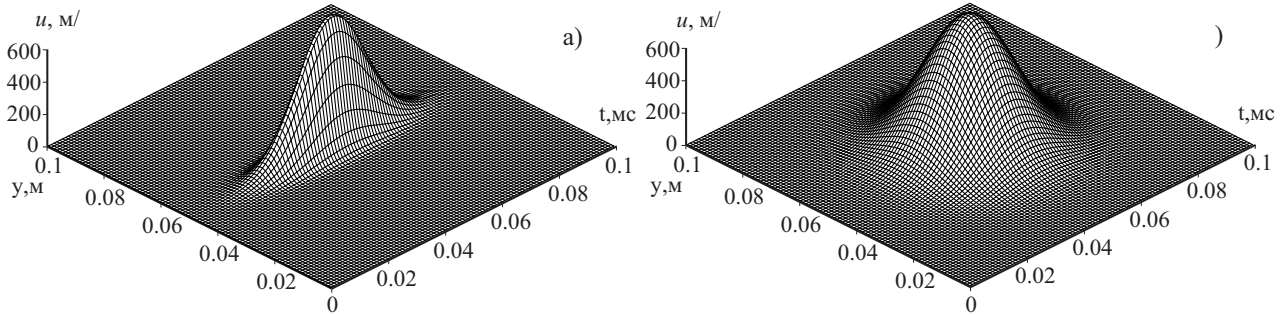


Рис. 1. Форма начального волнового импульса

где  $\gamma$  — показатель адиабаты для газа;  $q$  — интенсивность теплообмена или тепловой поток от жидкости к газу, отнесенный к единице площади межфазной поверхности. Интенсивность межфазного теплообмена примем в виде [1]:

$$q = \lambda_g \text{Nu}(T_g - T_0)/2a,$$

где  $T_0 = \text{const}$  — температура жидкости;  $\text{Nu}$  — число Нуссельта.

При описании число Нуссельта задается в виде:

$$\text{Nu} = \begin{cases} \sqrt{\text{Pe}}, & \text{Pe} \geq 100 \\ 10, & \text{Pe} < 100 \end{cases}.$$

Для числа Пекле примем выражение:

$$\text{Pe} = 12(\gamma - 1) \frac{T_0}{|T_g - T_0|} \frac{a|w|}{\kappa_g},$$

где  $\kappa_g = \lambda_g/c_g\rho_{g0}$ ,  $\lambda_g$ ,  $c_g$  — коэффициент теплопроводности, коэффициент теплопроводности и теплоемкость газа соответственно.

Уравнение состояния для несущей фазы примем в акустическом приближении

$$p_l = p_0 + C_l^2 (\rho_l^0 - \rho_{l0}^0),$$

где нижний индекс «0» относится к исходному, невозмущенному состоянию;  $C_l$  — скорость звука в жидкости.

Считая газ калорически совершенным, запишем уравнение Клайперона–Менделеева:

$$p_g = \rho_g^0 R T_g,$$

где  $R$  — газовая постоянная.

Методика численного расчета представлена в [9].

### 3. Результаты расчетов

На рис. 1–3 представлена эволюция колоколообразного по поперечной координате и по времени

волнового импульса, заданного в виде:

$$u(0, y) = \Delta u_0 \cdot \exp\left[\left(\frac{t - t_*/2}{t_*/6}\right)^2\right] \cdot \exp\left[\left(\frac{y - L_y/2}{y_*}\right)^2\right]$$

в однородной водовоздушной пузырьковой смеси. В численных расчетах параметры смеси следующие:  $\alpha_{g0} = 10^{-3}$ ,  $a_0 = 10^{-3}$  м,  $p_0 = 0.1$  МПа,  $\rho_{l0}^0 = 10^3$  кг/м<sup>3</sup>,  $T_0 = 300$  К,  $c_g = 1006$  Дж/К·кг,  $\lambda_g = 2.6 \cdot 10^{-2}$  Дж/К·с·м. Здесь  $\Delta u_0 = 600$  м/с,  $t_* = 0.1$  мс,  $L_y = 0.1$  м. Отметим, что в работах [6,7,9] возмущение в пузырьковой жидкости создавалось граничным давлением, а в данной работе первоначальный импульс создается воздействием на границе  $x = 0$  жесткого ударника.

Результаты расчетов, приведенные на рисунках, отличаются тем, что для рис. 1(а) и 2 значение  $y_* = 0.004$  м, а для рис. 1(б) и 3 —  $y_* = 0.016$  м. На рис. 1 представлены первоначальные профили компоненты скорости для удара, который воздействует на расчетную область на границе  $x = 0$ . На рис. 2 и 3 (фрагменты (а)) представлены распределения давления в момент 3.6 мс. Так как волновая картина симметрична относительно линии  $y = L_y/2$ , поэтому представлены рисунки только для одной из полуплоскостей, разделенные линией  $y = L_y/2$ . На фрагментах (б) также представлены эпюры давления в различные моменты времени (время указано над линиями в мс), кривые слева соответствуют линии  $y = L_y/2$ , кривые справа — линии  $y = L_y/4$ . Отметим, что, так как первоначальный импульс локализован не только по времени, но и по координате  $y$ , его затухание определяется не только диссипацией энергии в пузырьковой жидкости, но и двумерным растеканием. Из сравнительного анализа рис. 2 и 3 видно, что в обоих случаях форма движения имеет колебательный характер, что связано с радиальной инерцией пузырьковой жидкости. Кроме того, видно, что передний фронт более длительного (по координате  $y$ ) импульса ( $y_* = 0.016$  м (рис. 3)) имеет вид уединенной волны, а остальная

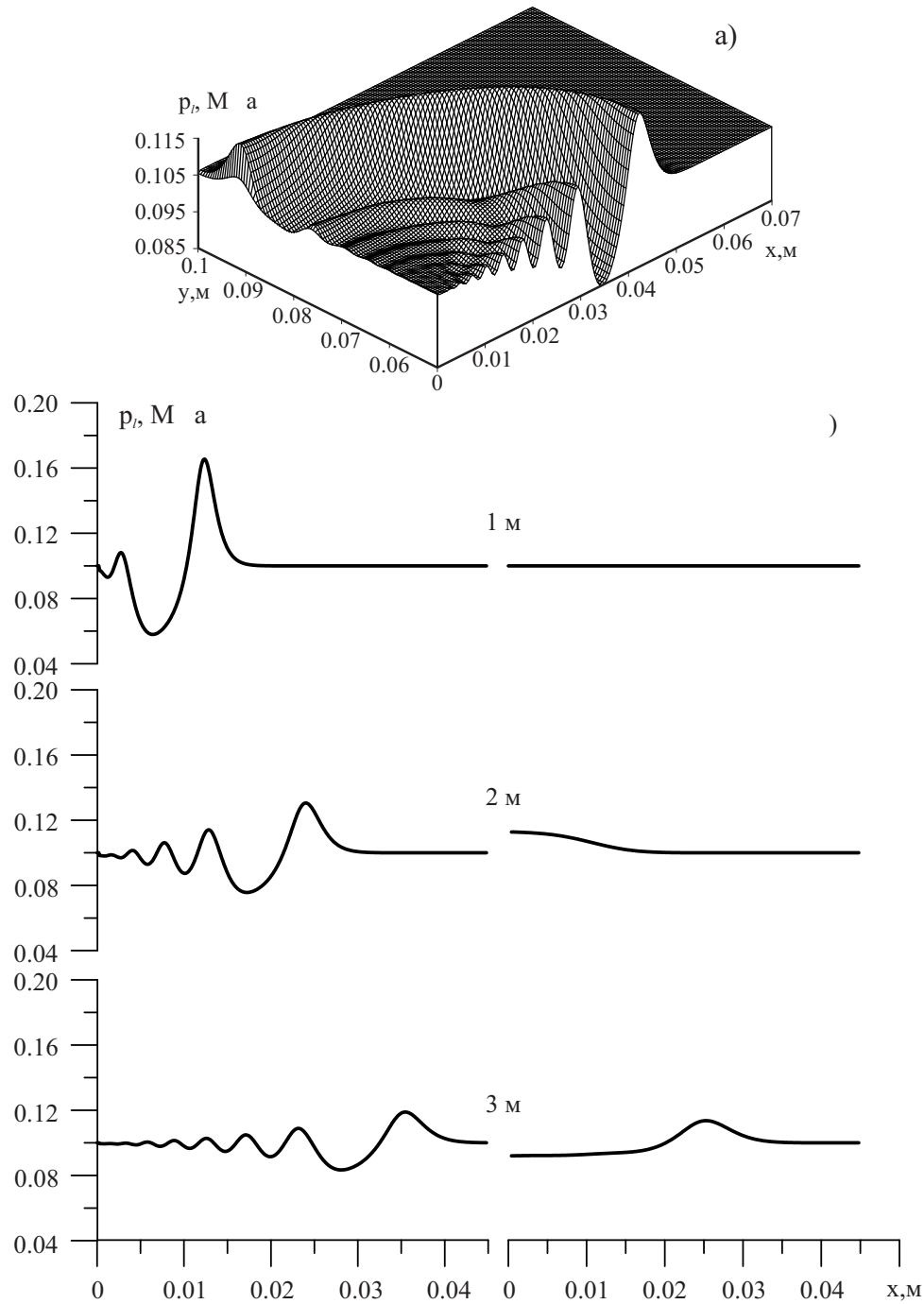


Рис. 2. Динамика локализованного импульса в пузырьковой жидкости. Пространственное распределение давления для  $y_* = 0.004$  м в момент времени 3.6 мс (а). Для фрагмента (б) кривые слева соответствуют линии  $y = L_y/2$ , кривые справа — линии  $y = L_y/4$

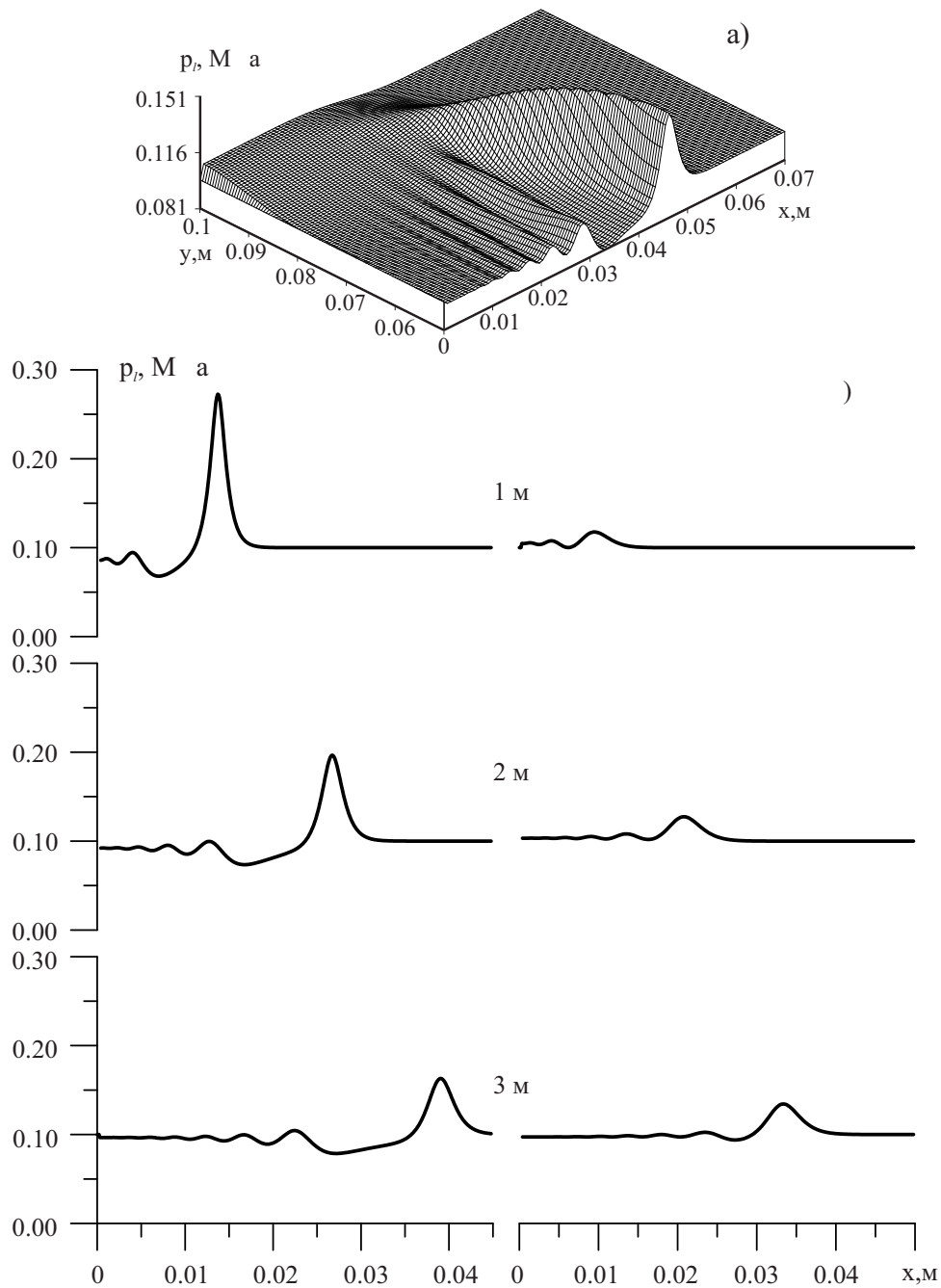


Рис. 3. Динамика локализованного импульса в пузырьковой жидкости. Пространственное распределение давления для  $y_* = 0.016$  м в момент времени 3.6 мс (а). Для фрагмента (б) кривые слева соответствуют линии  $y = L_y/2$ , кривые справа — линии  $y = L_y/4$

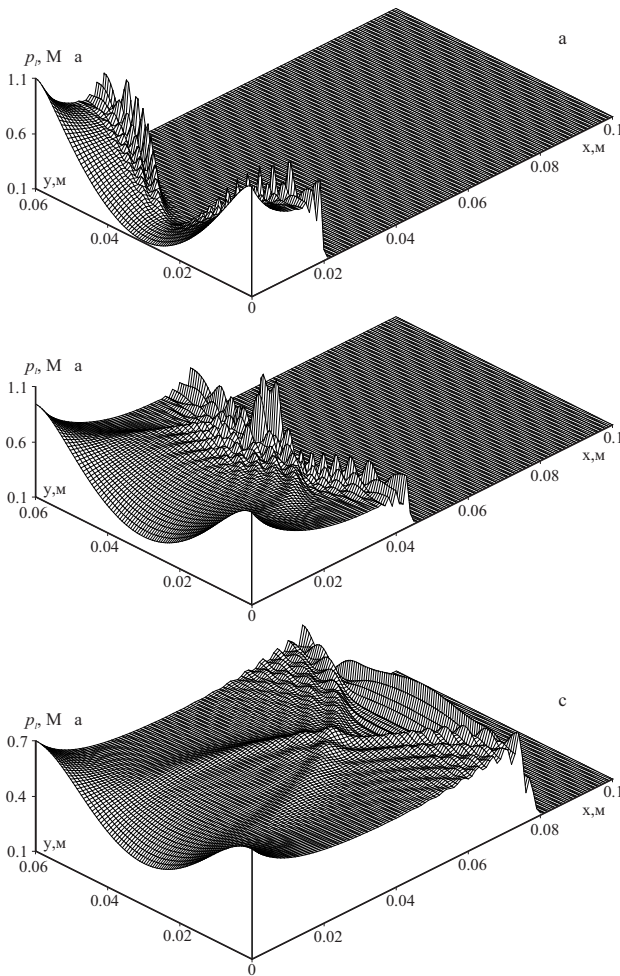


Рис. 4. Распределение давления при воздействии жестким ударником на границу  $x = 0$ . Фрагменты а), б) и с) соответствуют моментам 1.6, 2.7 и 5 мс

часть распространяется как пакет волн, имеющий пульсационный характер, подобно солитонам в [10]. Более «короткий» импульс ( $y_* = 0.004$  м (рис. 2)) распространяется как подковообразный пакет волн с характерными длинами волн  $\lambda \simeq C/\omega_M$ , где  $C$  — равновесная скорость звука в пузырьковой жидкости;  $\omega_M$  — частота Миннаерта [1]. Из рис. 2 видно, что распределение давления вдоль  $y = L_y/4$  имеет вид уединенной волны, т.е. волновой пакет практически незаметен.

На рис. 4 представлена эволюция волны инициируемого воздействием на границу  $x = 0$  жесткого ударника в однородной водовоздушной смеси. Скорость ударника по координате  $y$  меняется по параболическому закону

$$u(0, y) = \Delta u_0 \cdot \frac{4}{L_y^2} \left( y - \frac{L_y}{2} \right)^2,$$

где  $L_y = 0.06$  м, остальные параметры системы такие же, как для рис. 2. Из рис. 4 видно, что к моменту 1.6 мс (фрагмент (а)) в водовоздушной смеси формируется волна, имеющая параболический профиль на границе  $x = 0$ , и, так как амплитуда волны неоднородна по координате  $y$  и симметрична вдоль прямой  $y = L_y/2$ , происходит схождение волны вдоль прямой  $y = L_y/2$ . Отметим, что передний профиль волны имеет осцилляционную структуру, связанную с радиальной инерцией пузырьковой жидкости; амплитуда давления к моменту 1.6 мс достигает значения 8 атм. К моменту времени 2.7 мс (рис. 4, фрагмент (б)) происходит столкновение волн, распространяющихся к центру расчетной области. Столкновение волны сопровождается появлением башнеобразных всплесков амплитуды давления; для момента 2.7 мс амплитуда башнеобразного всплеска достигает 10 атм. Видно, что башнеобразный всплеск давления «обрамлен» пульсационными возмущениями из-за сложения осцилляций на переднем фронте распространяющейся волны. При дальнейшей эволюции волны (фрагмент (с)) башнеобразные всплески затухают из-за двумерного растекания и диссипации в пузырьковой жидкости.

#### 4. Заключение

Численно исследовано распространение двумерных волн в водовоздушной пузырьковой жидкости. Начальное возмущение инициировалось воздействием жесткого ударника.

В результате исследования установлены следующие факты.

При эволюции в однородной пассивной пузырьковой жидкости колоколообразного по поперечной координате импульсного сигнала, его затухание определяется не только диссипацией энергии в пузырьковой жидкости, но и двумерным растеканием. Передний фронт более «широкого» по поперечной координате импульса, имеет вид уединенной волны, а остальная часть распространяется как пакет волн, имеющий пульсационный характер, более «тонкий» сигнал распространяется как подковообразный пакет волн.

При воздействии на пузырьковую жидкость плоским ударником с параболическим профилем по поперечной координате установлено, что за счет двумерных эффектов происходит фокусировка волны вдоль линии симметрии.

Авторы выражают благодарность научному руководителю академику АН РБ, д.ф.-м.н., профессору Владиславу Шайхулагзамовичу Шагапову за полезные замечания и постоянный интерес к исследовательской работе авторов.

## Список литературы

- [1] Нигматулин Р.И. Динамика многофазных сред. М.: Наука, 1987. Ч.1. 464 с., Ч.2. 360 с.
- [2] Кутателадзе С.С., Накоряков В.Е. Теплообмен и волны в газожидкостных системах. Новосибирск: Наука, 1984. 302 с.
- [3] Кедринский В.К. Гидродинамика взрыва: эксперимент и модели. Новосибирск: Издательство СО РАН, 2000. 435 с.
- [4] Вшивков В.А., Лазарева Г.Г., Кедринский В.К. Формирование и усиление ударных волн в пузырьковом «шнуре» // Прикладная механика и техническая физика. 2005. Т. 46, № 5 (273). С. 46–52.
- [5] Кедринский В.К., Шокин Ю.И., Вшивков В.А., Дудникова Г.И., Лазарева Г. Генерация ударных волн в жидкости сферическими пузырьковыми кластерами // Доклады Академии наук. 2001. Т. 381, № 6. С. 773.
- [6] Galimzyanov M.N., Gimaltdinov I.K., Shagapov V.Sh. Two-dimensional pressure waves in a fluid with bubbles // Fluid Dynamics. 2002. V. 37, № 2. С. 294–301.
- [7] Nigmatulin R.I., Shagapov V.Sh., Gimaltdinov I.K., Galimzyanov M.N. Two-dimensional pressure waves in liquid with bubbly zone // Physics. Doklady. 2001. V. 378. С. 763.
- [8] Нигматулин Р.И., Шагапов В.Ш., Вахитова Н.К. Проявление сжимаемости несущей фазы при распространении волн в пузырьковой среде // Докл. АН СССР. 1989. Т. 304, № 5. С. 1077–1081.
- [9] Галимзянов М.Н. Распространение волн сжатия в пузырьковых зонах конечных размеров // Вестник Удмуртского университета. Математика. Механика. Компьютерные науки. 2010. № 2. С. 57–66.
- [10] Петвиашвили В.И., Цвелогуб О.Ю. Подковообразные солитоны на стекающей пленке жидкости // Докл. АН СССР. 1978. Т. 238, № 6. С. 1321–1323.